

01;03

Модификация теории пограничного слоя для расчета осцилляций вязкой капли в однородном электростатическом поле

© А.И. Григорьев, А.Р. Паранин, С.О. Ширяева

Ярославский государственный университет им. П.Г. Демидова,
150000 Россия, Ярославль
e-mail: grig@uniyar.ac.ru

(Поступило в Редакцию 17 июня 2011 г.)

Проведен аналитический расчет капиллярных осцилляций свободной поверхности капли вязкой электропроводной жидкости в электростатическом поле, в котором капля в линейном по стационарной деформации приближении имеет равновесную форму вытянутого по полю сфероида. Исходная задача в линейном по амплитуде осцилляций и квадратичном по эксцентриситету капли приближении модифицирована и упрощена в рамках представлений теории пограничного слоя с последовательной оценкой относительной погрешности замены точного решения приближенным. Показано, что с ростом напряженности электростатического поля (с ростом эксцентриситета капли) и вязкости жидкости толщина пограничного слоя у свободной поверхности капли увеличивается.

Введение

В последние несколько лет выполнен цикл работ, посвященных развитию теории пограничного слоя, связанного с плоской, цилиндрической или сферической заряженной свободной поверхностью электропроводной несжимаемой жидкости, совершающей периодические движения [1–7]. Во всех рассмотренных ситуациях форма равновесной поверхности жидкости не изменялась при варьировании внешних условий. В то же время имеется целый класс задач о расчете осцилляций конечных объемов вязкой жидкости, равновесная форма которых изменяется при изменении внешнего силового воздействия. Речь идет о задачах расчета осцилляций капель во внешних силовых полях: электростатических [8–10], магнитостатических [11–12], инерционных [13,14]. Хорошо известно, что капля во внешнем однородном электростатическом поле принимает форму, близкую к вытянутому по полю сфероиду [15,16]. Естественно встает вопрос о возможности расчета капиллярных осцилляций сфероидальной капли вязкой жидкости с использованием представлений пограничного слоя. В более общем случае представляет интерес проблема расчета в рамках теории пограничного слоя осцилляций капли с произвольной, отличной от сферической, равновесной формой. Например, воздействием интенсивного акустического или магнитного полей в акустическом или магнитном подвесах капле могут быть приданы равновесные формы, далекие от сферической [12]. В этой связи представляется целесообразным проанализировать вопрос о тенденциях изменения пограничного слоя у поверхности осциллирующей капли при изменении ее равновесной формы.

Формулировка задачи и ее решение

Пусть сферическая капля радиуса R вязкой несжимаемой электропроводной жидкости с массовой плотно-

стью ρ , коэффициентом кинематической вязкости ν и коэффициентом поверхностного натяжения σ помещена в однородное электростатическое поле напряженностью E_0 . Равновесная форма такой капли в линейном по стационарной деформации приближении имеет равновесную форму вытянутого по полю сфероида с эксцентриситетом $e \equiv \sqrt{9E_0^2 R / 16\pi\sigma}$ [15,16]. Примем, что капля совершает осцилляции в окрестности равновесной сфероидальной формы вследствие создания в начальный момент времени виртуальной осесимметричной деформации $\xi = \xi(\vartheta, t)$ так, что ее форма в произвольный момент времени определится соотношением

$$F(r, \vartheta, t) = r - r(\vartheta) - \xi(\vartheta, t) = 0, \quad \left| \frac{|\max \xi(\vartheta, t)|}{R} \right| \ll 1,$$

где $r = r(\vartheta)$ — равновесная форма капли в сферических координатах.

Нижеследующий анализ проведем в рамках теории возмущений путем разложения по малым независимым параметрам e^2 и ξ с точностью до членов, имеющих порядок малости $\propto e^2$, ξ и $e^2\xi$, т.е. в приближении по каждому из них (в квадратичном приближении при $\xi \propto e^2$). Соотношение между параметрами e^2 и ξ нуждается в отдельном комментарии. Если считать $\xi \ll e^2$, как это было сделано в [8,17,18], то необходимо было бы учитывать и слагаемые $e^4\xi$, $e^6\xi$ и т.д., но как показано в [19–20], это привело бы к резкому увеличению громоздкости проводимых расчетов без получения качественно новой физики. Поэтому в нижеследующем изложении будем полагать $\xi \propto e^2$, как это было принято в нелинейном исследовании [10]. Зависимости поля скоростей $U(\mathbf{r}, t)$, поля давлений $P^{\text{in}}(U, t)$ внутри жидкости и возмущения $\xi(\vartheta, t)$ от времени будем принимать экспоненциальными: $\propto \exp(St)$. В расчетах будем использовать безразмерные переменные, в которых $R = \rho = \sigma = 1$. Уравнение сфероида, вытянутого вдоль поля, если полярный угол

отсчитывать от \mathbf{E}_0 , имеет вид

$$r(\vartheta) \equiv \frac{(1 - e^2)^{1/6}}{\sqrt{1 - e^2 \cos^2 \vartheta}} \approx 1 + e^2 \frac{1}{3} P_2(\eta), \quad \eta \equiv \cos \vartheta,$$

где $P_2(\eta)$ — полином Лежандра.

Будем исследовать движение вязкой жидкости в капле, вызванное начальным возмущением формы ее равновесной поверхности $\xi(\vartheta, t)$ и поэтому характеризуемое полем скоростей $\mathbf{U}(\mathbf{r}, t)$, имеющим в безразмерных переменных тот же порядок малости, что и $\max |\xi(\vartheta, t)|$. Математическая формулировка задачи расчета линейных осцилляций вязкой капли в электростатическом поле имеет вид

$$\frac{d\mathbf{U}}{dt} + \frac{1}{\rho} \nabla P^{\text{in}} - \nu \Delta \mathbf{U} = 0, \quad \text{div} \mathbf{U} = 0, \quad \Delta \Phi = 0, \quad (1)$$

$$r = r(\vartheta) + \xi: \quad \frac{dF}{dt} = 0, \quad \mathbf{n}(\boldsymbol{\tau} \cdot \nabla) \cdot \mathbf{U} + \boldsymbol{\tau}(\mathbf{n} \cdot \nabla) \cdot \mathbf{U} = 0,$$

$$-P^{\text{in}}(\mathbf{U}, t) + 2\nu \mathbf{n}(\mathbf{n} \cdot \nabla) \cdot \mathbf{U} + P^{\text{ex}} - P_E + P_\sigma = 0,$$

$$r \rightarrow 0: \quad \mathbf{U} = 0, \quad r \rightarrow \infty: \quad -\nabla \Phi \rightarrow E_0 \mathbf{e}_z,$$

$$t = 0: \quad \xi(\vartheta) \equiv Z_j P_j(\eta), \quad \partial_t \xi(\vartheta) = 0, \quad \mathbf{U}(\mathbf{r}, t) = 0.$$

В выписанных выражениях $\boldsymbol{\tau}$ и \mathbf{n} — единичные векторы касательной и нормали к свободной поверхности жидкости, $\mathbf{U}(\mathbf{r}, t) = U_r(\mathbf{r}, t)\mathbf{e}_r + U_\vartheta(\mathbf{r}, t)\mathbf{e}_\vartheta$ — поле скоростей течения жидкости в капле, связанного с осцилляциями ее свободной поверхности, \mathbf{e}_r и \mathbf{e}_ϑ — орты сферической системы координат, $\Phi(\mathbf{r}, t)$ — потенциал электростатического поля, $P^{\text{ex}}, P_E = E_0^2/8\pi$ и $P_\sigma = \text{div} \mathbf{n}$ — внешнее давление, давления электрического поля и сил поверхностного натяжения соответственно, Z_j — амплитуда j -й моды колебаний, возбужденной в начальный момент времени.

Сформулированная задача дополняется естественными условиями сохранения объема жидкого слоя и неподвижности его центра масс при осцилляциях

$$\int_V r^2 dr \sin \vartheta d\vartheta d\varphi = \frac{4}{3} \pi, \quad \int_V \mathbf{r} r^2 dr \sin \vartheta d\vartheta d\varphi = 0.$$

Здесь интегрирование выполняется по всему объему капли.

Решение сформулированной задачи и может быть найдено методом скаляризации [21] и записано в виде [13]

$$\begin{aligned} \varphi(\mathbf{r}, t) &= \sum_{n=2}^{\infty} C_n^{(1)}(t) r^n P_n(\eta), \\ \psi(\mathbf{r}, t) &= \sum_{n=2}^{\infty} C_n^{(3)}(t) i_n(xr) P_n(\eta), \end{aligned} \quad (2)$$

где $x \equiv \sqrt{s/\nu}$, s — комплексная частота, $i_n(xr)$ — модифицированная сферическая функция Бесселя первого рода [22], а коэффициенты разложения $C_n^{(1)}, C_n^{(3)}$ приведены в Приложении А, скалярные функции $\varphi(\mathbf{r}, t)$ и

$\psi(\mathbf{r}, t)$ связаны с компонентами поля скоростей течения жидкости соотношениями [21]

$$U_r(\mathbf{r}, t) = \partial_r \varphi(\mathbf{r}, t) - \frac{1}{r} \Delta_\Omega \psi(\mathbf{r}, t),$$

$$U_\vartheta(\mathbf{r}, t) = \partial_\vartheta \left(\frac{\varphi(\mathbf{r}, t)}{r} \right) + \partial_\vartheta \left[\frac{1}{r} \partial_r (r \psi(\mathbf{r}, t)) \right],$$

$$\Delta_\Omega \equiv \frac{1}{\sin \vartheta} \frac{\partial}{\partial \vartheta} \left(\sin \vartheta \frac{\partial}{\partial \vartheta} \right).$$

Аналитическое выражение для ротора поля скоростей, характеризующего вихревую компоненту течения жидкости в капле, через скалярные функции $\varphi(\mathbf{r}, t)$ и $\psi(\mathbf{r}, t)$ имеет вид

$$\begin{aligned} \boldsymbol{\Omega} \equiv \text{rot} \mathbf{U} &\equiv \frac{1}{r} \left\{ \frac{\partial^2}{\partial r^2} \left(r \frac{\partial \psi}{\partial \vartheta} \right) \right. \\ &\left. + \frac{\partial}{\partial \vartheta} \left[\frac{1}{r \sin \vartheta} \frac{\partial}{\partial \vartheta} \left(\sin \vartheta \frac{\partial \psi}{\partial \vartheta} \right) \right] \right\} \mathbf{e}_\varphi. \end{aligned}$$

Видно, что вихревое течение, порожаемое осцилляциями свободной поверхности, описывается только функцией $\psi(\mathbf{r}, t)$, радиальная зависимость которой определяется быстро убывающей с уменьшением аргумента функцией $i_n(xr)$. Поэтому интенсивность вихревого течения затухает по мере удаления от свободной поверхности гораздо быстрее, чем потенциальная часть решения, являющаяся, согласно (2), лишь степенной функцией r . На рис. 1 приведен график зависимости модуля ротора поля скоростей от радиальной переменной, из которого видно, что вихревая компонента течения сосредоточена в приповерхностном слое. Этот факт дает основание говорить о разделении полного поля скоростей течения жидкости на две компоненты: потенциальную, охватывающую весь объем капли, и приповерхностную вихревую, быстро затухающую с глубиной, как показано на рис. 1. Сказанное позволяет сформулировать модельную задачу, в которой принимается искусственно, что вихревая компонента полностью

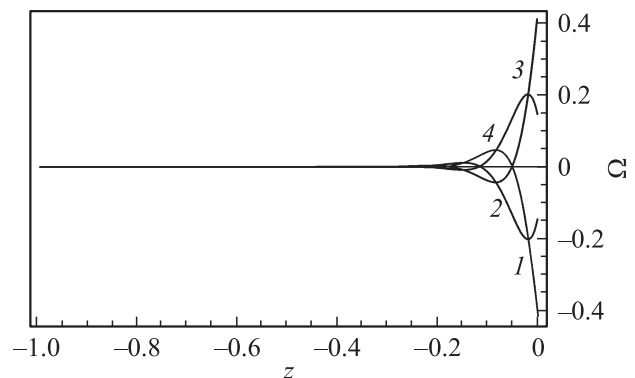


Рис. 1. Распределение модуля ротора поля скоростей вдоль радиальной переменной $r = r(\theta)(z + 1)$, $-1 \leq z \leq 0$ для разных моментов времени t . 1 — 0.025, 2 — 0.5, 3 — 0.75, 4 — $t = T$. Графики построены при значениях параметров: $n = 2$, $e^2 = 0.27$, $W = 0.06 \approx 0.3W_{\text{cr}}$, $\vartheta = \pi/4$, $\nu = 0.002$, $Z_2 = 0.1$.

затухает в приповерхностном слое толщиной δ и представляющую собой (согласно идеологии, изложенной в [1]) промежуточный этап перед введением упрощений теории пограничного слоя.

Формулировка и решение модельной задачи

На основании представленной о погранслоином строении реального течения маловязкой жидкости в приповерхностном ее слое [1–7,23] сформулируем модельную задачу, которой будем аппроксимировать точное решение задачи, как это делалось в работах [1–7]. Для этого, согласно сказанному выше, будем исходить из предположения, что потенциальное течение охватывает весь объем капли и обращается в нуль в центре капли, а вихревая часть течения сосредоточена только в пограничном приповерхностном слое (в пограничном слое) толщиной δ , и ротор скорости течения Ω обращается в нуль на нижней границе этого слоя

$$r \rightarrow 0: \quad U_r^{(p)} \rightarrow 0, \quad U_\vartheta^{(p)} \rightarrow 0,$$

$$r = r(\vartheta) - \delta: \quad \Omega = 0,$$

или в терминах функций $\varphi(\mathbf{r}, t)$ и $\psi(\mathbf{r}, t)$

$$r \rightarrow 0: \quad \partial_r \varphi(\mathbf{r}, t) \rightarrow 0, \quad \partial_\vartheta \left(\frac{\varphi(\mathbf{r}, t)}{r} \right) \rightarrow 0,$$

$$r = r(\vartheta) - \delta: \quad \partial_\vartheta \psi(\mathbf{r}, t) = 0. \quad (3)$$

Остальные граничные условия, а также решаемые уравнения для отыскания функций $\varphi(\mathbf{r}, t)$, $\psi(\mathbf{r}, t)$ и $P(\mathbf{r}, t)$ оставим прежними. В итоге математическая формулировка модельной задачи, выписанная в линейном по малой амплитуде осцилляций и квадрату эксцентриситета приближении, в терминах функций $\varphi(\mathbf{r}, t)$ и $\psi(\mathbf{r}, t)$ [13] имеет вид

$$\Delta \varphi = 0, \quad \Delta \psi(\mathbf{r}, t) - \frac{1}{\nu} \frac{\partial \psi(\mathbf{r}, t)}{\partial t} = 0,$$

$$p^{\text{in}}(\mathbf{U}, t) = -\frac{\partial \varphi(\mathbf{r}, t)}{\partial t}$$

с условиями (3) и граничными условиями на невозмущенной свободной поверхности жидкости:

— кинематическим

$$s\xi - \left[\partial_r \varphi - \Delta_\Omega \left(\frac{\psi}{r} \right) \right] \Big|_{r=1+e^2 h(\vartheta)} - e^2 \sin \vartheta \cos \vartheta \partial_\vartheta \left[\frac{\varphi}{r} + \frac{1}{r} \partial_r(r\psi) \right] \Big|_{r=1} = 0,$$

— касательной проекцией динамического граничного условия

$$\Delta_\Omega \left[2\partial_r \left(\frac{\varphi}{r} \right) + \partial_{r,r} \psi - (2 + \Delta_\Omega) \frac{\psi}{r^2} \right] \Big|_{r=1+e^2 h(\vartheta)} - 2e^2 \left\{ (3 \cos^2 \vartheta - 1) \left[\partial_{r,r} \varphi - \frac{1}{r} \partial_r \varphi \right] - (2 \cos^2 \vartheta - 1) \Delta_\Omega \left(\frac{\varphi}{r^2} \right) - (5 \cos^2 \vartheta - 2) \Delta_\Omega \left(\frac{1}{r} \partial_r \varphi \right) + (4 \cos^2 \vartheta - 1) \Delta_\Omega \left(\frac{\varphi}{r^2} \right) + \sin \vartheta \cos \vartheta \partial_\vartheta \left[\partial_{r,r} \varphi - \frac{1}{r} \partial_r \varphi - (2 + \Delta_\Omega) \left(\frac{\varphi}{r^2} \right) - 2(1 + \Delta_\Omega) \left(\frac{1}{r} \partial_r \varphi \right) - (2 - \Delta_\Omega) \left(\frac{\varphi}{r^2} \right) \right] \right\} \Big|_{r=1} = 0,$$

— и его нормальной проекцией

$$s\varphi \Big|_{r=1+e^2 h(\vartheta)} + 2\nu \left\{ \left[\partial_{r,r} \varphi - \Delta_\Omega \left(\partial_r \left(\frac{\psi}{r} \right) \right) \right] \Big|_{r=1+e^2 h(\vartheta)} + e^2 \sin \vartheta \cos \vartheta \partial_\vartheta \left[\frac{2}{r} \partial_r \varphi - \frac{\varphi}{r^2} + \partial_{r,r} \psi + \partial_r \left(\frac{\psi}{r} \right) - \Delta_\Omega \left(\frac{\psi}{r^2} \right) \right] \Big|_{r=1} \right\} - p_E(\xi) \Big|_{r=1+e^2 h(\vartheta)} + p_\sigma(\xi) \Big|_{r=1+e^2 h(\vartheta)} = 0. \quad (4)$$

Начальные условия останутся неизменными. В (4) $p^{\text{in}}(\mathbf{U}, t)$ — добавка к давлению внутри жидкости, порождаемая движениями жидкости, имеющая первый порядок малости по \mathbf{U} (т.е. по ξ), $\Phi(\mathbf{r}, t)$ — потенциал электростатического поля (в расчетах первого порядка малости полагается, что $\Phi(\mathbf{r}, t) \equiv \Phi_0 + \phi(\mathbf{r}, t)$, где Φ_0 — потенциал электрического поля вблизи невозмущенной сфероидальной поверхности, $\phi(\mathbf{r}, t)$ — поправка к Φ_0 первого порядка малости по ξ), $p_E(\xi)$ и $p_\sigma(\xi)$ — добавки к давлению электрического поля и давлению сил поверхностного натяжения, имеющие первый порядок малости по ξ .

Уравнения для потенциальной составляющей течения будем решать во всей области $0 \leq r \leq r(\vartheta)$, а для погранслоиной вихревой составляющей только в узком приповерхностном слое: $\mu \leq r \leq r(\vartheta)$, где $\mu \equiv r(\vartheta) - \delta$. Толщину пограничного слоя δ будем считать пропорциональной $\sqrt{2\nu/\omega}$, определенной с точностью до постоянного множителя G и малой по сравнению с радиусом капли $\delta \equiv G\sqrt{2\nu/\omega} \ll 1$. В этом выражении ω — вещественная часть комплексной частоты s , радикал $\sqrt{2\nu/\omega}$ определяет расстояние от поверхности, на котором интенсивность вихревого движения убывает в ~ 2.7 раза.

Решение модельной задачи ищется в следующем виде:

$$\begin{aligned}\varphi(\mathbf{r}, t) &= \sum_{n=0}^{\infty} C_n^{(1)}(t) r^{(n)} P_n(\eta), \\ \phi(\mathbf{r}, t) &= \sum_{n=0}^{\infty} \Phi_n(t) r^{-(n+1)} P_n(\eta), \\ \psi(\mathbf{r}, t) &= \sum_{n=0}^{\infty} [C_n^{(3)}(t) i_n(xr) + C_n^{(2)}(t) k_n(xr)] P_n(\eta) \\ \xi(\vartheta, t) &= \sum_{n=0}^{\infty} M_n(t) P_n(\eta),\end{aligned}\quad (5)$$

где функции времени $C_n^{(j)}$, Φ_n , M_n являются коэффициентами разложений, $k_n(xr)$ — модифицированные сферические функции Бесселя третьего рода.

Подставляя решения (5) в систему скаляризованных граничных условий (4), получим систему однородных алгебраических уравнений относительно неизвестных коэффициентов $M_n(t)$, $C_n^{(1)}(t)$, $C_n^{(2)}(t)$, $C_n^{(3)}(t)$, $\Phi(t)$, из которой можно выразить коэффициенты $C_n^{(1)}(t)$, $C_n^{(2)}(t)$, $C_n^{(3)}(t)$, $\Phi(t)$ через амплитуды осцилляций $M_n(t)$ (аналитические выражения для коэффициентов приведены в Приложении В). В итоге приходим к бесконечной системе связанных дифференциальных уравнений относительно амплитуд осцилляций свободной поверхности M_n :

$$\begin{aligned}M_n''(t) + \nu M_n'(t) (\varepsilon_n^{(0)} + e^2 \varepsilon_n^{(2)}) + M_n (\tau_n^{(0)} + e^2 \tau_n^{(2)}) \\ + e^2 M_{n-2}''(t) \gamma_{n-2} + \nu e^2 M_{n-2}'(t) \varepsilon_{n-2} + e^2 M_{n-2} \tau_{n-2} \\ + e^2 M_{n+2}''(t) \gamma_{n+2} + \nu e^2 M_{n+2}'(t) \varepsilon_{n+2} + e^2 M_{n+2} \tau_{n+2} = 0,\end{aligned}\quad (6)$$

где коэффициенты ε_n , γ_n , τ_n приведены в Приложении С.

Решение системы (6), удовлетворяющее начальным условиям задачи, ищется с помощью метода последовательных приближений по e^2 . В первом порядке малости получается

$$\begin{aligned}M_n(t) = Z_j = \left\{ \exp(ib_n^{(0)}) \left(a_n^{(0)} \delta_{nj} + \frac{1}{a_n^{(0)}} e^2 \left[q_{n-2}^{(1)} \delta_{(n-2)j} \right. \right. \right. \\ \left. \left. \left. + q_n^{(2)} \delta_{nj} + q_{n+2}^{(1)} \delta_{(n+2)j} \right] \right) \exp \left[\left(s_n^{(0)} + e^2 s_n^{(1)} \right) t \right] \right. \\ \left. - e^2 \alpha_{n-2} a_{n-2}^{(0)} \exp(ib_{n-2}^{(0)}) \exp(s_{n-2}^{(0)} t) \delta_{(n-2)j} \right. \\ \left. - e^2 \alpha_{n+2} a_{n+2}^{(0)} \exp(ib_{n+2}^{(0)}) \exp(s_{n+2}^{(0)} t) \delta_{(n+2)j} \right\},\end{aligned}\quad (7)$$

$$s_n^{(0)} = \frac{1}{2} \left(\varepsilon_n^{(0)} + \sqrt{(\varepsilon_n^{(0)})^2 - 4\tau_n^{(0)}} \right),$$

где δ_{nj} — символ Кронекера, $s_n^{(0)}$ и $s_n^{(1)}$ — составляющие решения $s_n \equiv s_n^{(0)} + e^2 s_n^{(1)}$ дисперсионного уравнения, которое несложно получить из системы (6), полагая

$M_n(t) \sim A_n \exp(st)$ и приравнивая коэффициент при комплексной амплитуде A_n к нулю. При этом $s_n^{(0)}$ является решением этого дисперсионного уравнения в нулевом по e^2 порядке малости, $s_n^{(1)}$ — поправка к решению $s_n^{(0)}$, пропорциональная e^2 . Выражения для коэффициентов $a_n^{(0)}$, $b_n^{(0)}$, $s_n^{(0)}$, a_n , b_n , s_n , $\alpha_{n\pm 2}$ приведены в Приложении Д.

В пределе малой вязкости $\nu \ll 1$ и $\delta \rightarrow r(\vartheta)$, означаящем, что вихревое движение заполняет весь объем капли, полученное из системы (6) дисперсионное уравнение полностью совпадает с дисперсионным уравнением точной задачи. (Оба дисперсионных уравнения в первом порядке малости по e^2 в пределе малой вязкости приведены в Приложении Е).

Упрощение модельной задачи в рамках теории пограничного слоя и ее решение

Математическая формулировка модельной задачи в пределе малой вязкости может быть упрощена с помощью построений, аналогичных тем, что используется в традиционной теории пограничных слоев, связанных с наличием свободной поверхности или твердой стенки [1–7, 23].

Выделим наиболее существенные свойства точного решения задачи вблизи свободной поверхности. Течение состоит из главной (потенциальной) и добавочной погранслоевой (вихревой) частей $U(\mathbf{r}, t) = U^{(p)}(\mathbf{r}, t) + U^{(e)}(\mathbf{r}, t)$, где $U^{(p)}(\mathbf{r}, t)$ — потенциальная часть поля скоростей, а $U^{(e)}(\mathbf{r}, t)$ — вихревая. Для основной части движения характерный линейный масштаб l , на котором изменяются компоненты скорости, определяется по порядку величины перпендикулярно свободной поверхности и вдоль нее радиусом капли $l \approx R$ и $l \approx \pi R$ соответственно. Для вихревой части течения характерный линейный масштаб, на котором изменяются компоненты скорости в направлении, перпендикулярном пограничному слою, равен толщине слоя $l = \delta$, а в продольном направлении определяется радиусом капли $l \approx \pi R$.

На основании вышеизложенного введем правила оценки производных от искомым величин по пространственным координатам. Для производных от потенциальной части течения $U^{(p)}(\mathbf{r}, t)$ будем пользоваться следующим формальным правилом построения оценки: операторы дифференцирования ∂_r и $\frac{1}{r} \partial_\vartheta$ переходят в оператор умножения на $1/R$ и $1/\pi R$ соответственно. Для вихревой части $U^{(e)}(\mathbf{r}, t)$, определенной в пограничном слое, правило оценки производных другое — оператор дифференцирования ∂_r переходит в оператор умножения на $1/\delta$, а оператор $1/r \partial_\vartheta$ в оператор умножения на $1/\pi R$.

Воспользуемся малостью значений толщины приповерхностного пограничного слоя δ по сравнению с радиусом капли и в суммах вида $A + B$, будем пренебрегать слагаемым B , если $B/A \propto O(\delta^2/(\pi R)^2)$.

Пусть V — характерное значение скорости потенциального течения, т.е. $U_r^{(p)}(\mathbf{r}, t) \propto U_\vartheta^{(p)}(\mathbf{r}, t) \propto V$. Тогда из уравнения неразрывности несложно получить

следующую оценку: $U_r^{(e)}/U_\vartheta^{(e)} \propto \delta/\pi R$, а из проекции динамического граничного условия на касательное к свободной поверхности направления следует

$$U_\vartheta^{(e)} \propto \left(\frac{V}{\pi R}\right)\delta, \quad U_r^{(e)} \propto V \left(\frac{\delta}{\pi R}\right)^2.$$

Учитывая все приведенные выше оценки, модифицируем математическую формулировку модельной задачи к упрощенному виду, в котором граничные условия принимают следующий вид:

$$r = r(\vartheta): \quad \partial_t \xi = U_r - e^2 U_\vartheta \frac{1}{3} \partial_\vartheta P_2(\eta),$$

$$\left\{ 2\partial_r U_\vartheta^{(p)} + r\partial_r \left(\frac{1}{r} U_\theta^{(e)}\right) + e^2 2 \sin \vartheta \cos \vartheta \left[\frac{1}{r} U_r + \frac{1}{r} \partial_\vartheta U_\vartheta - \partial_r U_r^{(p)}\right] \right\} \Big|_{r=r(\vartheta)} = 0,$$

$$\left\{ -p^{in}(\mathbf{U}, t) + 2\nu \left[\partial_r U_r^{(p)} + e^2 \sin \vartheta \cos \vartheta \left(\partial_r U_\vartheta + \frac{1}{r} \partial_\vartheta U_r^{(p)} - \frac{U_\vartheta}{r} \right) \right] - p_E(\xi) + p_\sigma(\xi) \right\} \Big|_{r=r(\vartheta)} = 0,$$

$$r = r(\vartheta) - \delta: \quad \Omega = 0, \tag{8}$$

а остальные уравнения гидродинамики остаются без изменений. Решение этой задачи будет иметь вид (5), но с другими коэффициентами $C_n^{(1)}, C_n^{(2)}, C_n^{(3)}$, приведенными в Приложении F. Рассуждая, как и при решении модельной задачи, и подставляя эти решения, выраженные через амплитуду осцилляций $M_n(t)$, в динамическое граничное условие (8), получим бесконечную систему связанных дифференциальных уравнений относительно амплитуды отклонения свободной поверхности $M_n(t)$ для модельной упрощенной задачи:

$$M_n''(t) + \nu M_n'(t)(\varepsilon_n^{(0)} + e^2 \varepsilon_n^{(2)}) + M_n(\tau_n^{(0)} + e^2 \tau_n^{(2)}) + e^2 M_{n-2}''(t)\gamma_{n-2} + \nu e^2 M_{n-2}'(t)\varepsilon_{n-2} + e^2 M_{n-2}\tau_{n-2} + e^2 M_{n+2}''(t)\gamma_{n+2} + \nu e^2 M_{n+2}'(t)\varepsilon_{n+2} + e^2 M_{n+2}\tau_{n+2} = 0, \tag{9}$$

где коэффициенты $\varepsilon_n, \gamma_n, \tau_n$ приведены в Приложении G.

Решение системы (9), удовлетворяющее начальным условиям (2), имеет качественный вид, совпадающий с (7), но с иными коэффициентами, приведенными в Приложении D.

Анализ полученных соотношений

На рис. 2 и 3 приведены зависимости радиальной U_r и угловой U_θ компонент поля скоростей течения жидкости, рассчитанные при различных значениях множителя G , от расстояния до свободной поверхности (в пределах толщины пограничного слоя), учитываемого через

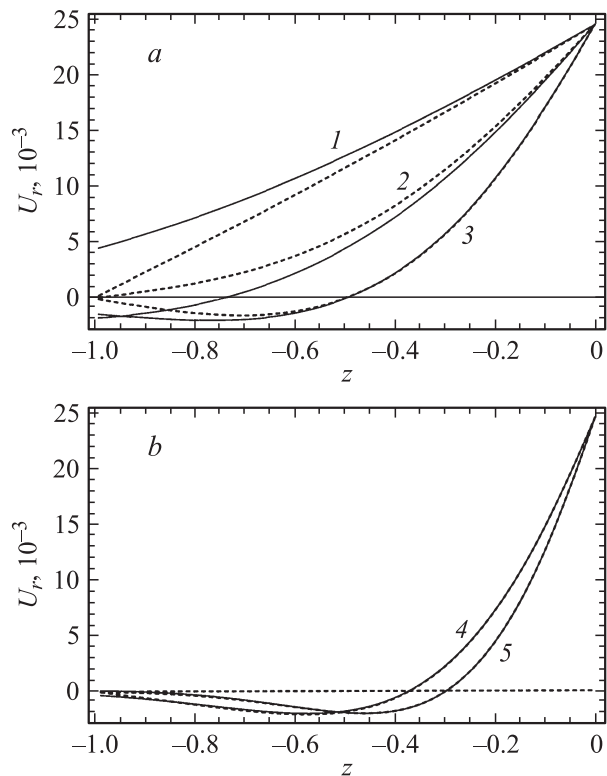


Рис. 2. Зависимости радиальной компоненты поля скоростей U_r от расстояния до свободной поверхности в пределах пограничного слоя, рассчитанные для различных значений коэффициентов приближения G и построенные при $t = 0.5T, n = 2, e^2 = 0.3, W = 0.066, \vartheta = \pi/4, \nu = 0.002, Z_2 = 0.1$. Номер пары кривых соответствует значению коэффициента G . Сплошная линия соответствует точному решению, штриховая — решению в теории пограничного слоя.

переменную z , вводимую соотношениями $z = (r - 1)/\delta$. При изменении координаты r в диапазоне $1 - \delta \leq r \leq 1$ переменная z изменяется в пределах $-1 \leq z \leq 0$. Значение $z = 0$ соответствует свободной поверхности капли, а $z = -1$ нижней границе пограничного слоя, образующегося вблизи свободной поверхности. Несложно видеть, что при $G = 5$ совпадение точного и приближенного модельных решений для обеих компонент поля скоростей весьма хорошее (абсолютная погрешность находится в пределах толщины линий).

На рис. 4 приведены аналогичные зависимости для распределения модуля ротора поля скоростей Ω вдоль пограничного слоя, из которых также следует, что оптимальным, дающим наилучшее совпадение результатов расчетов обеих задач, является значение параметра $G = 5$.

Увеличение напряженности внешнего электрического поля, приводя к увеличению эксцентриситета сферической формы капли, влияет на интенсивность вихревого движения жидкости. Согласно расчетам, представленным на рис. 5, с ростом e^2 абсолютное значение ротора Ω уменьшается, однако одновременно увеличивается глубина проникновения вихревого движения в

толщину жидкости. Это иллюстрирует рис. 6, на котором изображена зависимость толщины пограничного слоя δ от квадрата эксцентриситета e^2 . Величина δ связана с e^2 через частоту капиллярных осцилляций поверхности ω , которая является решением соответствующего дисперсионного уравнения. Согласно рис. 6, даже при сильной деформации равновесной формы капли ($e^2 \approx 0.65$) пограничный характер движения сохраняется, так как толщина пограничного слоя составляет сотые доли радиуса капли.

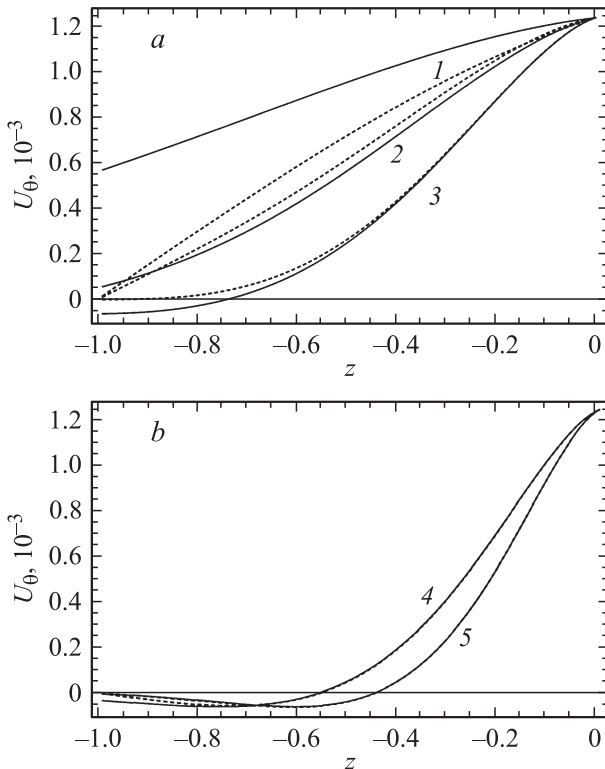


Рис. 3. То же, что на рис. 2, но для угловой компоненты поля скоростей U_θ .

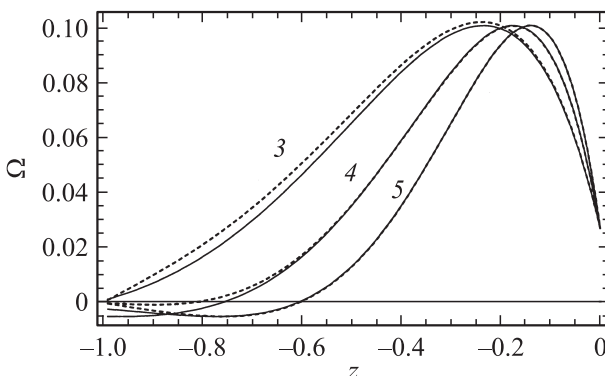


Рис. 4. Распределение вдоль пограничного слоя модуля ротора поля скоростей Ω , рассчитанное при $t = T$, $n = 2$, $e = 0.3$, $W = 0.066$, $\vartheta = \pi/4$, $\nu = 0.002$, $Z_2 = 0.1$ для различных значений коэффициента приближения G . Номер пары кривых соответствует значению коэффициента G . Сплошная линия — решение точной задачи, штриховая — модельной упрощенной.

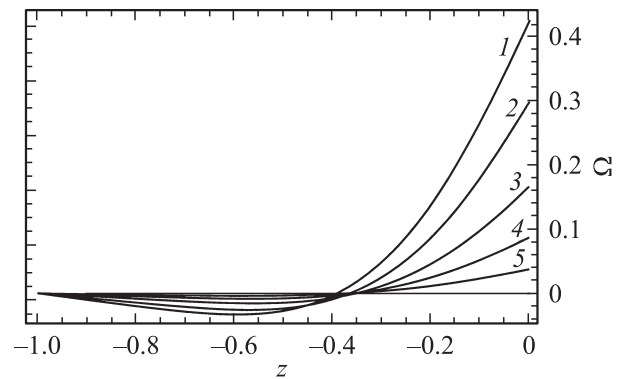


Рис. 5. Распределение вдоль пограничного слоя модуля ротора поля скоростей Ω , рассчитанное при $t = 0.75T$, $n = 2$, $G = 5$, $\vartheta = \pi/4$, $\nu = 0.002$, $Z_2 = 0.1$ для различных значений квадрата эксцентриситета e^2 . 1 — 0, 2 — 0.3, 3 — 0.5, 4 — 0.6, 5 — 0.63.

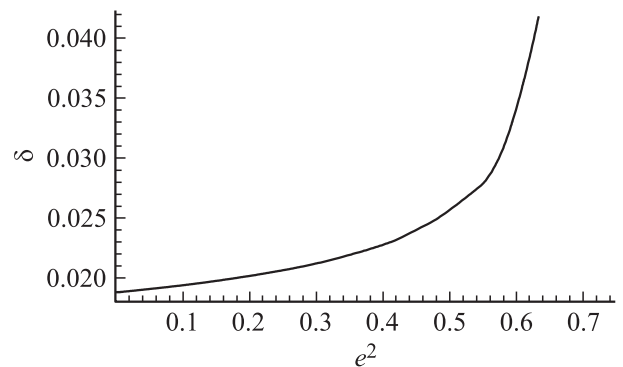


Рис. 6. График зависимости толщины пограничного слоя δ от значения параметра e^2 , построенный при $\nu = 0.002$.

Значительно большее влияние на величину δ оказывает вязкость жидкости. Поскольку $\delta \propto \sqrt{\nu}$, то рост безразмерной вязкости приводит к тому, что вихревое движение охватывает весь объем капли. Такая ситуация характерна либо для капель сильновязких жидкостей, либо для мелких капель.

Заключение

В результате аналитического расчета капиллярных осцилляций свободной поверхности капли вязкой электропроводной жидкости в электростатическом поле показано, что в широком диапазоне значений физических параметров движение жидкости в капле имеет пограничный характер. Толщина пограничного слоя примерно в 5 раз превышает оценочную величину, соответствующую формуле Лонгетта–Хиггинса $\delta_L \propto \sqrt{2\nu/\omega}$. Увеличение напряженности внешнего электростатического поля (увеличение эксцентриситета капли), уменьшая абсолютную величину интенсивности вихревого движения, одновременно увеличивает толщину пограничного слоя.

Приложение А. Аналитические выражения для коэффициентов $C_n^{(1)}(t)$, $C_n^{(3)}$ точной задачи

$$C_n^{(1)}(t) \equiv c_{n-2}e^2M'_{n-2}(t) + \left(c_n^{(2)}e^2 + c_n^{(0)}e^0 \right)M'_n(t) + c_{n+2}e^2M'_{n+2}(t),$$

$$c_{n-2} \equiv \frac{(1-n)}{2(n-2)(3-8n+4n^2)x^2[x-2\tau_{n-2}(x)][x-2\tau_n(x)]} \times \left[2x\tau_{n-2}(x)(44n^3-10n^4+n^2(x^2-34)-8(x^2-5)) - n(48+x^2) + 2(8-2n-3n^2+n^3)x\tau_n(x) + (n-2)(48-46x^2-x^4+6n^2(-8+x^2)+2n^3(8+x^2)) + n(-16-10x^2+x^4)-2x[-24-x^2+n(8+x^2)]\tau_n(x) \right],$$

$$\tau_n(x) \equiv i_{n+1}(x)/i_n(x),$$

$$c_n^{(2)} \equiv \frac{-(n+1)}{3n(4n+4n^2-3)x^2 \times [x-2\tau_n(x)]^2} \times \left[n^4x^2-2n^3(12+x^2)+n^2(24-32x^2+x^4) - 3(8-12x^2+x^4)-n(16x^2+x^4-24) + 2x(34n^3+2n^4-2n^2(x^2-11))+3(x^2-4) + n(-34+5x^2)\tau_n(x) + 4n(n+n^2-5)x^2\tau_n(x)^2 \right],$$

$$c_n^{(0)} \equiv \frac{2n^2+x^2-2x\tau_n(x)-2}{nx[x-2\tau_n(x)]},$$

$$c_{n+2} \equiv \frac{-(n+1)}{2n(15+16n+4n^2)x^2[x-2\tau_n(x)][x-2\tau_{n+2}(x)]} \times \left[48+64n-32n^2-64n^3-16n^4+2(3n^2+5n^3+n^4-8-11n)x^2+(n+n^2-4)x^4-2x(8+16n^3+2n^4-4x^2+3n(8+x^2)+n^2(34+3x^2))\tau_{n+2}(x)+2x\tau_n(x) \times (n(32-x^2)-n^2(-8+x^2)+4(6+x^2)+2(-4+4n+5n^2+n^3)x\tau_{n+2}(x)) \right],$$

$$C_n^{(3)}(t) \equiv [d_{n\pm 2}e^2M'_{n\pm 2}(t) + (d_n^{(2)}e^2 + d_n^{(0)}e^0)M'_n(t)]/i_n(x),$$

$$d_n^{(0)} \equiv \frac{2-2n}{nx[x-2\tau_n(x)]},$$

$$d_{n-2} \equiv \frac{(n-1)}{(19n-16n^2+4n^3-6)x^2[x-2\tau_{n-2}(x)][x-2\tau_n(x)]} \times \left[(n-2)(24-11x^2+2n(-16+x^2)+n^2(8+x^2)) + x(40-10n^3+n^2(54+x^2)-n(88+3x^2))\tau_{n-2}(x) \right],$$

$$d_n^{(1)} \equiv \frac{2(n-1)}{3(3-7n+4n^3)x^2[x-2\tau_n(x)]^2n} \times \left[(1+n)(n^3x^2+n(24-14x^2)+12(x^2-1)-2n^2(6+x^2))+nx(-46+22n+2n^3-x^2) + n^2(34+x^2)\tau_n(x) \right],$$

$$d_{n+2} \equiv \frac{1-n}{(12n^2+4n^3-15-n)nx^2[x-2\tau_n(x)][x-2\tau_{n+2}(x)]} \times \left[n^4(-8+x^2)+4(6+x^2)+n^3(5x^2-32)+n(32+5x^2) + n^2(7x^2-16)+x(n(x^2-24)+2n^2(x^2-17)) - 8-2n^4+n^3(-16+x^2)\tau_{n+2}(x) \right].$$

Приложение В. Выражение для коэффициентов $C_n^{(1)}$, $C_n^{(2)}$ и $C_n^{(3)}$ модельной задачи

$$C_n^{(1)} = c_{n-2}e^2M'_{n-2} + (c_n^{(2)}e^2 + c_n^{(0)}e^0)M'_n + c_{n+2}e^2M'_{n+2},$$

$$c_{n-2} \equiv \beta_n^{(2)} \left(-\beta_{n-2}^{(1)} - 2(n-3)\beta_{n-2}^{(2)}\lambda_n^3\rho_n\rho_{2+n}\eta_{-1(n-2)} \times \Lambda_{(n-2)n} - \beta_{n-2}^{(2)}(1-\Lambda_n)\rho_{2+n} \left[-2(n-2)\lambda_{n-2}^{(3)}(4-5n+n^2 + \rho_n)\eta_{-1(n-2)} + 2(n-3) \left\{ \lambda_{(n-2)}^{(2)} + \eta_{-1(n-2)} \left[2(n-1)\lambda_{n-2}^{(4)} - \rho_n(2\lambda_{n-2}^{(1)} + K_n^{(3)}\Lambda_{(n-2)n}) \right] \right\} - \frac{2}{3}\lambda_{n-2}^{(3)}\rho_{n-2}K_{2(n-2)n} \right] \right)$$

$$\beta_n^{(2)} \equiv \frac{1}{n\lambda_n^{(2)} + 2(n-1)(\Lambda_n-1)\rho_{2+n}},$$

$$\beta_l^{(1)} \equiv \frac{\lambda_n^{(3)}\lambda_l^{(3)}\alpha_{l-1}^{(1)} - 2(l-1)\lambda_l^{(1)}\alpha_{l,1}^{(1)}}{3\lambda_l^{(3)} + 2(l-1)(\Lambda_l-1)\rho_{2+l}},$$

$$\lambda_n^{(l)} \equiv I_n^{(l)} - K_n^{(l)}\Lambda_n, \quad \Lambda_n \equiv \frac{i_n(x\mu)k_n(x)}{i_n(x)k_n(x\mu)},$$

$$\Lambda_{lj} \equiv 2x[\tau_l(x\mu) + \chi_l(x\mu)] \frac{i_l(x\mu)k_j(x)}{i_l(x)k_j(x\mu)}, \quad \chi_l(x) \equiv \frac{k_{l+1}(x)}{k_l(x)},$$

$$\alpha_{ij}^{(1)} \equiv l(j+l)K_{2ln} - \alpha_{2ln}, \quad K_{mkn} = [C_{m0k0}^n]^2,$$

$$\alpha_{mkn} = -\sqrt{m(m+1)k(k+1)}C_{m0k0}^nC_{m(-1)k1}^n,$$

$$\rho_n \equiv (n-2)(n-1),$$

$$\eta_{lj} \equiv \frac{2(l+j)+1}{(2j+1)(2j+3)(2j-1)}, \quad I_n^{(1)} \equiv \tau_n(x) + (n+1),$$

$$K_n^{(1)} \equiv -\chi_n(x) + (n+1),$$

$$I_l^{(2)} \equiv \frac{1}{3}[(l-2)\{2(l^2+1)+x^2\} + x\{4+2l(l+1)+x^2\}\tau_n(x)]K_{2ln},$$

$$K_l^{(2)} \equiv \frac{1}{3}[(l-2)\{2(l^2+1)+x^2\} - x\{4+2l(l+1)+x^2\}\chi_l]K_{2ln},$$

$$I_n^{(3)} \equiv 2(n^2-1)+x^2-2x\tau_n(x),$$

$$K_n^{(3)} \equiv 2(n^2-1)+x^2+2x\chi_n(x),$$

$$I_n^{(4)} \equiv n(n+1)(2n+2x\tau_n(x)-1),$$

$$K_n^{(4)} \equiv n(n+1)(2n-2x\chi_n(x)-1),$$

$$c_n^0 \equiv \beta_n^{(2)}\lambda_n^{(3)},$$

$$c_n^{(2)} \equiv \beta_n^{(2)}\left(-\beta_n^{(1)} + \frac{2}{3}(n-1)\beta_n^{(2)}\lambda_n^{(3)}\rho_{2+n}[(9-6\rho_{2+n})\eta_{0n}-1]\Lambda_{mn}-\beta_n^{(2)}(1-\Lambda_n)\rho_{2+n}\left\{-2\lambda_n^{(3)}(3-2n+n^2-\rho_{2+n})\eta_{0n}+2(n-1)\left[\lambda_n^{(2)}+2\lambda_n^{(4)}\eta_{0n}+2\lambda_n^{(1)}(2\rho_{2+n}-3)\right.\right.\right. \\ \left.\left.\left.\times\eta_{0n}-\frac{1}{3}K_n^{(3)}(1+(6\rho_{2+n}-9)\eta_{0n})\Lambda_{mn}\right]-\frac{2}{3}\lambda_n^{(3)}\rho_n K_{2mn}\right\}\right),$$

$$c_{n+2} \equiv \beta_n^{(2)}\left(-\beta_{n+2}^{(1)}-2(1+n)\beta_{n+2}^{(2)}\lambda_n^{(3)}\rho_{2+n}\rho_{4+n}\eta_{1(2+n)}\Lambda_{(2+n)n}-\beta_{n+2}^{(2)}(1-\Lambda_n)\rho_{2+n}\left\{2\lambda_{n+2}^{(3)}[n(2+n)^2+(3+n)\rho_{4+n}]\right.\right. \\ \left.\left.\times\eta_{1(2+n)}+2(1+n)\left[\lambda_{n+2}^{(2)}-\eta_{1(2+n)}\{2(2+n)\lambda_{n+2}^{(4)}+\rho_{4+n}(K_n^{(3)}\Lambda_{(2+n)n}+2\lambda_{n+2}^{(1)})\}\right]-\frac{2}{3}\lambda_{n+2}^{(3)}\rho_{2+n}K_{2(2+n)n}\right\}\right),$$

$$C_n^{(3)} = \frac{D_n^{(3)}}{i_n(x)}, \quad D_n^{(3)} = d_{n\pm 2}e^2 M'_{n\pm 2} + (d_n^{(2)}e^2 + d_n^{(0)})M'_n,$$

$$d_{n-2} \equiv \frac{1}{\lambda_n^{(3)}}\left(\beta_{n-2}^{(2)}\left\{-2(n-2)(4-5n+n^2+\rho_n)\lambda_{n-2}^{(3)}\eta_{-1(n-2)}+2(n-3)\left[\lambda_{n-2}^{(2)}+\eta_{-1(n-2)}(2(n-1)\lambda_{n-2}^{(4)}-\rho_n(2\lambda_{n-2}^{(1)}+K_n^{(3)}\Lambda_{(n-2)n})\right]-\frac{2}{3}\rho_{n-2}\lambda_{n-2}^{(3)}K_{2(n-2)n}\right\}(1+2(n-1)\beta_n^{(2)}\right. \\ \left.\times(1-\Lambda_n)\rho_{2+n})+2(n-1)\beta_n^{(2)}\left[\beta_{n-2}^{(1)}+2(n-3)\right.\right. \\ \left.\left.\times\beta_{n-2}^{(2)}\lambda_n^{(3)}\rho_n\rho_{2+n}\eta_{-1(n-2)}\Lambda_{(n-2)n}\right]\right),$$

$$d_n^{(0)} \equiv -2(n-1)\beta_n^{(2)},$$

$$d_n^{(2)} \equiv \beta_n^{(2)}\left(\left\{-2(3-2n+n^2-\rho_{2+n})\eta_{0n}+\frac{1}{\lambda_n^{(3)}}2(n-1)\right.\right. \\ \left.\left.\times\left[\lambda_n^{(2)}+2\lambda_n^{(2)}+2\lambda_n^{(4)}+2\lambda_n^{(1)}(2\rho_{2+n}-1)\eta_{0n}\right.\right.\right. \\ \left.\left.\left.-\frac{1}{3}K_n^{(3)}(1+(6\rho_{2+n}-9)\eta_{0n})\Lambda_{mn}\right]-\frac{2}{3}\rho_n K_{2mn}\right\}\right. \\ \left.\times\left[1+2(n-1)\beta_n^{(2)}(1-\Lambda_n)\rho_{2+n}\right]-2(n-1)\right. \\ \left.\times\left\{\frac{2}{3}(n-1)\beta_n^{(2)}\rho_{2+n}[(9-6\rho_{2+n})\eta_{0n}-1]\Lambda_{mn}-\frac{\beta_n^{(1)}}{\lambda_n^{(3)}}\right\}\right),$$

$$d_{n+2} \equiv \frac{1}{\lambda_n^{(3)}}\left(\beta_{n+2}^{(2)}\left\{2\left[n(2+n)^2+(3+n)\rho_{4+n}\right]\lambda_{n+2}^{(3)}\eta_{1(2+n)}\right.\right. \\ \left.\left.+2(1+n)\left[\lambda_{n+2}^{(2)}-\eta_{1(2+n)}\left\{2(2+n)\lambda_{n+2}^{(4)}+\rho_{4+n}(2\lambda_{n+2}^{(1)}+K_n^{(3)}\Lambda_{(2+n)n})\right\}\right]-\frac{2}{3}\rho_{2+n}\lambda_{n+2}^{(3)}K_{2(2+n)n}\right\}\left\{1+2(n-1)\right.\right. \\ \left.\left.\times\beta_n^{(2)}(1-\Lambda_n)\rho_{2+n}\right\}+2(n-1)\beta_n^{(2)}\left[\beta_{n+2}^{(1)}+2(1+n)\right.\right. \\ \left.\left.\times\beta_{n+2}^{(2)}\lambda_n^{(3)}\rho_{2+n}\rho_{4+n}\eta_{1(2+n)}\Lambda_{(2+n)n}\right]\right),$$

$$C_n^{(2)}(t) = \frac{D_n^{(2)}(t)}{k_n(x)},$$

$$D_2^{(n)}(t) = -D_n^{(3)}(t)\Lambda_n - e^2\left[\rho_n\eta_{-1(n-2)}\Lambda_{(n-2)n}D_{n-2}^{(3)}(t)\right. \\ \left.+ \frac{1}{3}\left[1+(6\rho_{n+2}-9)\eta_{0n}\right]\Lambda_{mn}D_n^{(3)}(t)+\rho_{n+4}\eta_{1(n+2)}\right. \\ \left.\times\Lambda_{(n+2)n}D_{n+2}^{(3)}(t)\right].$$

Приложение С. Система связанных дифференциальных уравнений модельной задачи

$$M_n''(t) + \nu M_n''(t)\left(\varepsilon_n^{(n)} + e^2\varepsilon_n^{(2)}\right) + M_n\left(\tau_n^{(0)} + e^2\tau_n^{(2)}\right) \\ + e^2M_{n-2}''(t)\gamma_{n-2} + \nu e^2M'_{n-2}(t)\varepsilon_{n-2} + e^2M_{n-2}\tau_{n-2} \\ + e^2M_{n+2}''(t)\gamma_{n+2} + \nu e^2M'_{n+2}(t)\varepsilon_{n+2} + e^2M_{n+2}\tau_{n+2} = 0,$$

$$\varepsilon_n^{(0)} \equiv \frac{2[\lambda_n^{(3)}\rho_{1+n}-2(n-1)\lambda_n^{(6)}\rho_{2+n}]}{\lambda_n^{(3)}},$$

$$\begin{aligned} \varepsilon_n^{(2)} \equiv & -\frac{2}{3} \left\{ -3\alpha_n^{(2)} - 2(n-1) \frac{\lambda_n^6}{(\lambda_n^{(3)})^2} \rho_{2+n} \left[\lambda_n^{(2)} + 6\lambda_n^{(4)} \eta_{0n} \right. \right. \\ & + 6\lambda_n^{(1)} (2\rho_{2+n} - 3) \eta_{0n} + K_n^{(3)} ((9 - 6\rho_{2+n}) \eta_{0n} - 1) \Lambda_{nm} \left. \right] \\ & + n\rho_{1+n} K_{2nm} + \frac{2}{\lambda_n^{(3)}} \left[3(n-1) \lambda_n^{(5)} \right. \\ & + \rho_{2+n} \left(\lambda_n^{(6)} \left(3[3 - 2n + n^2 - \rho_{2+n}] \eta_{0n} - (n-1) K_n^{(6)} \right) \right. \\ & \left. \left. \times [1 + (6\rho_{2+n} - 9) \eta_{0n}] \Lambda_{nm} + (n - n^2 + \rho_n) K_{2nm} \right) \right] \left. \right\}, \\ I_l^{(5)} \equiv & \frac{1}{3} \left[l(1+l) \{ (l-2)(l-1) + x^2 - 4x\tau_n(x) \} K_{2ln} \right. \\ & \left. - I_l^{(3)} \alpha_{2ln} \right], \\ K_l^{(5)} \equiv & \frac{1}{3} \left[l(1+l) \left\{ (l-2)(l-1) + x^2 - 4x\chi_n(x) \right\} K_{2ln} \right. \\ & \left. - K_l^{(3)} \alpha_{2ln} \right], \\ \alpha_l^{(2)} \equiv & \frac{1}{3} \left[l\rho_l K_{2ln} - 2(l-1) \alpha_{2ln} \right], \quad \tau_n^{(0)} \equiv \frac{\mu_{n0}}{\beta_n^{(2)} \lambda_n^{(3)}}, \\ \tau_n^{(2)} \equiv & \frac{1}{3\beta_n^{(2)} \lambda_n^{(3)}} \left(\lambda_n^{(3)} \mu_n^{(2)} - \frac{1}{3} \mu_n^{(0)} \left\{ n\lambda_n^{(3)} K_{2nm} + 3 \left[-\beta_n^{(1)} \right. \right. \right. \\ & + \frac{2}{3} (n-1) \beta_n^{(2)} \lambda_n^{(3)} \rho_{2+n} [(9 - 6\rho_{2+n}) \eta_{0n} - 1] \Lambda_{nm} \\ & - \beta_n^{(2)} (1 - \Lambda_n) \rho_{2+n} (-2\lambda_n^{(3)} (3 - 2n + n^2 - \rho_{2+n}) \eta_{0n} \\ & + 2(n-1) (\lambda_n^{(2)} + 2\lambda_n^{(4)} \eta_{0n} + 2\lambda_n^{(1)} (2\rho_{2+n} - 3) \eta_{0n} \\ & \left. \left. \left. - \frac{1}{3} K_n^{(3)} [1 + (6\rho_{2+n} - 9) \eta_{0n}] \Lambda_{nm}) - \frac{2}{3} \lambda_n^{(3)} \rho_n K_{2nm} \right] \right\} \right), \\ \mu_n^{(0)} \equiv & (n-1)(2+n), \\ \mu_n^{(2)} \equiv & \frac{2n(66n^2 + 113n^3 + 2n^4 - 23 - 149n)}{9 + 6n - 36n^2 - 24n^3}, \\ \gamma_{n-2} \equiv & \frac{\beta_{n-2}^{(2)}}{\beta_n^{(2)} \lambda_n^{(3)}} \left(\frac{1}{3} (n-2) \lambda_{n-2}^{(3)} K_{2(n-2)n} - \frac{\beta_n^{(2)}}{\beta_{n-2}^{(2)}} \left\{ \beta_{n-2}^{(1)} \right. \right. \\ & + 2(n-3) \beta_{n-2}^{(2)} \lambda_n^{(3)} \rho_n \rho_{2+n} \eta_{-1(n-2)} \Lambda_{(-2+n)n} - \beta_{n-2}^{(2)} \\ & \times (1 - \Lambda_n) \rho_{2+n} \left[-2(n-2) \lambda_{n-2}^{(3)} (4 - 5n + n^2 + \rho_n) \eta_{-1(n-2)} \right. \\ & + 2(n-3) (\lambda_{n-2}^{(2)} + \eta_{-1(n-2)}) [2(n-1) \lambda_{n-2}^{(4)} \\ & \left. \left. \left. - \rho_n (2\lambda_{n-2}^{(1)} + K_n^{(3)} \Lambda_{(n-2)n}) \right] \right] - \frac{2}{3} \lambda_{n-2}^{(3)} \rho_{n-2} K_{2(n-2)n} \right\} \right), \end{aligned}$$

$$\begin{aligned} \varepsilon_{n-2} \equiv & \frac{2}{\beta_n^{(2)} \lambda_n^{(3)}} \left(\alpha_{n-2}^{(2)} \beta_{n-2}^{(2)} \lambda_{n-2}^{(3)} - 2(n-3) \beta_{n-2}^{(2)} \left[\lambda_{n-2}^{(5)} \right. \right. \\ & \left. \left. - K_n^{(6)} \rho_n \rho_{2+n} \eta_{-1(n-2)} \Lambda_{(n-2)n} \right] \right. \\ & + \beta_n^{(2)} \rho_{1+n} \left\{ -\beta_{n-2}^{(1)} \right. \\ & - 2(n-3) \beta_{n-2}^{(2)} \lambda_n^{(3)} \rho_n \rho_{2+n} \eta_{-1(n-2)} \Lambda_{(n-2)n} - \beta_{n-2}^{(2)} (1 - \Lambda_n) \\ & \times \rho_{2+n} (-2(n-2) \lambda_{n-2}^{(3)}) (4 - 5n + n^2 + \rho_n) \eta_{-1(n-2)} \\ & + 2(n-3) \left[\lambda_{n-2}^{(2)} + \eta_{-1(n-2)} [2(n-1) \lambda_{n-2}^{(4)} - \rho_n (2\lambda_{n-2}^{(1)} \right. \\ & \left. \left. + K_n^{(3)} \Lambda_{(n-2)n}) \right] - \frac{2}{3} \lambda_{n-2}^{(3)} \rho_{n-2} K_{2(n-2)n} \right] \left. \right\} \\ & + \frac{\lambda_n^{(6)} \rho_{2+n}}{\lambda_n^{(3)}} \left\{ -2(n-1) \beta_n^{(2)} [-\beta_{n-2}^{(1)} \right. \\ & - 2(n-3) \beta_{n-2}^{(2)} \lambda_n^{(3)} \rho_n \rho_{2+n} \\ & \times \eta_{-1(n-2)} \Lambda_{(n-2)n}] + \beta_{n-2}^{(2)} [1 - 2(n-1) \beta_n^{(2)} (\Lambda_n - 1) \\ & \times \rho_{2+n}] [-2(n-2) \lambda_{n-2}^{(3)} (4 - 5n + n^2 + \rho_n) \eta_{-(n-2)} \\ & + 2(n-3) \{ \lambda_{n-2}^{(2)} + \eta_{-1(n-2)} [2(n-1) \lambda_{n-2}^{(4)} \\ & \left. \left. - \rho_n (2\lambda_{n-2}^{(1)} + K_n^{(3)} \Lambda_{(n-2)n}) \right] \right\} - \frac{2}{3} \lambda_{n-2}^{(2)} \rho_{n-2} \\ & \left. \times K_{2(n-2)n} K_{2(n-2)n} \right\}, \\ I_n^{(6)} \equiv & (n-1) + x\tau_n(x), \quad K_n^6 \equiv (n-1) - x\chi_n(x), \\ \tau_{n-2} \equiv & -\frac{n(30 - 45n + 14n^2 + n^3)}{(3 - 8n + 4n^2) \beta_n^{(2)} \lambda_n^{(3)}}, \\ \gamma_{n+2} \equiv & \frac{\beta_{n+2}^{(2)}}{\beta_n^{(2)} \lambda_n^{(3)}} \left(\frac{1}{3} (n+2) \lambda_{n+2}^{(3)} K_{2(n+2)n} \right. \\ & - \frac{\beta_n^{(2)}}{\beta_{n+2}^{(2)}} \left\{ \beta_{n+2}^{(1)} + 2(n+1) \beta_{n+2}^{(2)} \lambda_n^{(3)} \rho_{n+2} \rho_{n+4} \eta_{-1(n+2)} \Lambda_{(2+n)n} \right. \\ & - (1 - \Lambda_n) \rho_{2+n} \left[2\lambda_{n+2}^{(3)} [n(2+n)^2 + (3+n) \rho_{4+n}] \eta_{1(2+n)} \right. \\ & + 2(n+1) \left(\lambda_{n+2}^{(2)} + \eta_{-1(n+2)} \left[2(n+2) \lambda_{n+2}^{(4)} + \rho_{n+4} (2\lambda_{n+2}^{(1)} \right. \right. \\ & \left. \left. + K_n^{(3)} \Lambda_{(n+2)n}) \right] \right) - \frac{2}{3} \lambda_{n+2}^{(3)} \rho_{n+2} K_{2(n+2)n} \left. \right\} \right), \end{aligned}$$

$$\begin{aligned} \varepsilon_{n-2} \equiv & \frac{2}{\beta_n^{(2)} \lambda_n^{(3)}} \left(\alpha_{n+2}^{(2)} \beta_{n+2}^{(2)} \lambda_{n+2}^{(3)} - 2(n+1) \beta_{n+2}^{(2)} \left[\lambda_{n+2}^{(5)} \right. \right. \\ & - K_n^{(6)} \rho_{n+2} \rho_{4+n} \eta_{1(n+2)} \Lambda_{(n+2)n} \left. \left. \right] + \beta_n^{(2)} \rho_{1+n} \left\{ -\beta_{n+2}^{(1)} \right. \right. \\ & - 2(n+1) \beta_{n+2}^{(2)} \lambda_n^{(3)} \rho_{n+2} \rho_{4+n} \eta_{1(n+2)} \Lambda_{(n+2)n} - \beta_{n+2}^{(2)} (1 - \Lambda_n) \\ & \times \rho_{2+n} \left(2\lambda_{n+2}^{(3)} [n(2+n)^2 + (3+n) \rho_{4+n}] \eta_{1(2+n)} + 2(n+1) \right. \\ & \times \left[\lambda_{n+2}^{(2)} + \eta_{-1(n+2)} \left[2(n+2) \lambda_{n+2}^{(4)} + \rho_{n+4} (2\lambda_{n+2}^{(1)} \right. \right. \\ & \left. \left. + K_n^{(3)} \Lambda_{(n+2)n}) \right] \right) - \frac{2}{3} \lambda_{n+2}^{(3)} \rho_{n+2} K_{2(n+2)n} \left. \left. \right\} \right) \\ & + \frac{\lambda_n^{(6)} \rho_{2+n}}{\lambda_n^{(3)}} \left\{ -2(n+1) \beta_n^{(2)} \left[-\beta_{n+2}^{(1)} - 2(n+1) \right. \right. \\ & \times \beta_{n+2}^{(2)} \lambda_n^{(3)} \rho_{n+2} \rho_{4+n} \eta_{1(n+2)} \Lambda_{(n+2)n} \left. \left. \right] \right. \\ & + \beta_{n+2}^{(2)} \left[1 - 2(n-1) \beta_n^{(2)} (\Lambda_n - 1) \rho_{2+n} \right] \\ & \times \left[2\lambda_{n+2}^{(3)} [n(2+n)^2 + (3+n) \rho_{4+n}] \eta_{1(2+n)} \right. \\ & + 2(n+1) \left\{ \lambda_{n+2}^{(2)} + \eta_{1(n+2)} \left[2(n+1) \lambda_{n+2}^{(4)} \right. \right. \\ & \left. \left. - \rho_{n+4} (2\lambda_{n+2}^{(1)} + K_n^{(3)} \Lambda_{(n+2)n}) \right] \right\} - \frac{2}{3} \lambda_{n+2}^{(3)} \rho_{n+2} K_{2(n+2)n} \left. \left. \right\} \right), \end{aligned}$$

$$\tau_{n+2} \equiv - \frac{(20 + 76n + 81n^2 + 26n^3 + n^4)}{\beta_n^{(2)} \lambda_n^{(3)} (15 + 16n + 4n^2)}.$$

Приложение D. Решение системы дифференциальных уравнений

а) нулевое приближение

$$M_n^0(t) = q_n^{(0)} \exp(ib_n^{(0)}) \exp(x_n^{(0)} t) \delta_{nj} Z_j,$$

$$a_n^{(0)} = \sqrt{1 + (\operatorname{Re} s_n^{(0)} / \operatorname{Im} s_n^{(0)})^2},$$

где δ_{nj} — символ Кронекера, Z_j — начальная амплитуда осцилляций капли j -й моды. $b_n^{(0)} = \operatorname{arctg}(\frac{\operatorname{Re} s_n^{(0)}}{\operatorname{Im} s_n^{(0)})}$, $s_n^{(0)}$ — частота, являющаяся решением дисперсионного уравнения $s_n^{(0)} = \frac{1}{2}(\varepsilon_n^{(0)} + \sqrt{(\varepsilon_n^{(0)})^2 - 4\tau_n^{(0)}})$, $\varepsilon_n^{(0)}$, $\tau_n^{(0)}$ приведены в Приложении С для модельной задачи и в Приложении D для модельной упрощенной задачи;

б) первое приближение

$$\begin{aligned} M_n(t) = & Z_j \left\{ \exp(ib_n^{(0)}) \left(a_n^{(0)} \delta_{nj} + \frac{1}{a_n^{(0)}} e^2 \right. \right. \\ & \times \left[q_{n-2}^{(1)} \delta_{(n-2)j} + q^{(2)} \delta_{nj} + q_{n+2}^{(1)} \delta_{(n+2)j} \right] \left. \right) \\ & \times \exp \left(\left(s_n^{(0)} + e^2 s_n^{(1)} \right) \cdot t \right) - e^2 \alpha_{n-2} a_{n-2}^{(0)} \\ & \times \exp(ib_{n-2}^{(0)}) \exp(s_{n-2}^{(0)} t) \delta_{(n-2)j} - e^2 \alpha_{n+2} a_{n+2}^{(0)} \\ & \times \exp(ib_{n+2}^{(0)}) \exp(s_{n+2}^{(0)} t) \delta_{(n+2)j} \left. \right\} \end{aligned}$$

$$\begin{aligned} q_{n\pm 2}^{(1)} = & a_{n\pm 2}^{(0)} \alpha_{n+2} \left(\cos(b_{n\pm 2}^{(0)}) |s_{n\pm 2}^{(0)}|^2 \right. \\ & \left. - [\cos(b_{n\pm 2}^{(0)}) \operatorname{Re} s_{n\pm 2}^{(0)} - \operatorname{Im} s_{n\pm 2}^{(0)} \sin(b_{n\pm 2}^{(0)})] s_{n\pm 2}^{(0)} \right), \end{aligned}$$

$$q^{(2)} = (\operatorname{Im} s_n^{(0)} \operatorname{Re} s_n^{(1)} - \operatorname{Im} s_n^{(1)} \operatorname{Re} s_n^{(0)}) \left(i + \frac{\operatorname{Re} s_n^{(0)}}{\operatorname{Im} s_n^{(0)}} \right),$$

$$s_n = s_n^{(0)} + e^2 s_n^{(1)}, \quad s_n = -\lambda(s_n) + \sqrt{\lambda^2(s_n) - 4\omega(s_n)},$$

$$\lambda = \varepsilon_n^{(0)} + e^2 \varepsilon_n^{(2)}, \quad \omega = \tau_n^{(0)} + e^2 \tau_n^{(2)},$$

$$\alpha_{n\pm 2} = \frac{(s_{n\pm 2}^{(0)})^2 \gamma_{n\pm 2} + s_{n\pm 2}^{(0)} \varepsilon_{n\pm 2} + \tau_{n\pm 2}}{(s_{n\pm 2}^{(0)})^2 + \lambda s_{n\pm 2}^{(0)} + \omega}.$$

Коэффициенты $\varepsilon_n^{(0)}$, $\tau_n^{(0)}$, $\varepsilon_n^{(2)}$, $\tau_n^{(2)}$, $\lambda_{n\pm 2}$, $\varepsilon_{n\pm 2}$, $\tau_{n\pm 2}$ для модельной задачи приведены в Приложении С, для модельной упрощенной — в Приложении D.

Приложение E. Дисперсионное уравнение в первом и втором порядках малости в пределе малой вязкости

В первом порядке малости, учитывая, что $W \propto e^2$

$$4 + \frac{s^2}{2} - \frac{324W}{35} + 5sv$$

$$+ e^2 \left[\frac{1}{42} (5s^2 - 80) - \frac{1}{7} s^{3/2} \sqrt{v} + \frac{2sv}{21} \right] = 0.$$

Во втором порядке малости

$$\begin{aligned} & \frac{s^4}{8} + 8s^3v + s^2 \left(10 - \frac{6151W}{385} + \frac{135v^2}{2} \right) \\ & + sv \left(144 - \frac{100714W}{385} \right) + 72 - \frac{15176W}{55} + \frac{12960W^2}{77} \\ & + e^2 \left[\frac{15s^4}{308} + \frac{961s^3v}{462} + \frac{1}{77} s^2 (299v^2 - 20) - \frac{228}{77} s^{3/2} \sqrt{v} \right. \\ & \left. - \frac{3288sv}{77} - \frac{186}{77} s^{5/2} v^{3/2} - \frac{13}{154} s^{7/2} \sqrt{v} - \frac{560}{11} \right] = 0. \end{aligned}$$

Приложение F. Выражения для коэффициентов $C_n^{(1)}$, $C_n^{(2)}$, $C_n^{(3)}$ модельной упрощенной задачи

Для получения полных выражений коэффициентов нужно взять выражения из Приложения В, но с обозначениями

$$I_l^{(2)} \equiv \frac{1}{3} \left\{ 4 - 5l^2 + l^3 - 2x^2 + l(x^2 - 2) + (4 + l + l^2 + x^2)x\tau_n(x) \right\} K_{2ln},$$

$$K_l^{(2)} \equiv \frac{1}{3} \left\{ 4 - 5l^2 + l^3 - 2x^2 + l(x^2 - 2) - (4 + l + l^2 + x^2)x\chi_n(x) \right\} K_{2ln},$$

$$I_n^{(3)} \equiv (n - 1)(1 + n) + n^2 - 2x\tau_n(x),$$

$$K_n^{(3)} \equiv (n - 1)(1 + n) + x^2 + 2x\chi_n(x),$$

$$I_n^{(4)} \equiv 2n(1 + n)(n + x\tau_n(x));$$

$$K_n^{(4)} \equiv 2n(1 + n)(n - x\chi_n(x)).$$

Приложение G. Система связанных дифференциальных уравнений модельной упрощенной задачи

$$M_n''(t) + \nu M_n'(t)(\varepsilon_n^{(0)} + e^2\varepsilon_n^{(2)}) + M_n(\tau_n^{(0)} + e^2\tau_n^{(2)}) + e^2M_{n-2}''(t)\gamma_{n-2} + \nu e^2M_{n-2}'(t)\varepsilon_{n-2} + e^2M_{n-2}\tau_{n-2} + e^2M_{n+2}'(t)\gamma_{n+2} + \nu e^2M_{n+2}'(t)\varepsilon_{n+2} + e^2M_{n+2}\tau_{n+2} = 0, \quad \varepsilon_n^{(0)} \equiv 2\rho_{1+n},$$

$$\varepsilon_n^{(2)} \equiv \frac{\lambda_n^{(3)}(3\alpha_n^{(2)} - n\rho_{1+n}K_{2nn}) - 4(n-1)\lambda_n^{(5)}\alpha_{2nn}}{3\lambda_n^{(3)}},$$

$$I_n^{(5)} \equiv -[(n-2)(1+n) + x^2] + 2x\tau_n(x),$$

$$K_n^{(5)} \equiv -[(n-2)(1+n) + x^2] - 2x\chi_n(x),$$

$$\begin{aligned} \varepsilon_{n-2} \equiv & \frac{2\beta_{n-2}^{(2)}}{\beta_n^{(2)}\lambda_n^{(3)}} \left(\alpha_{n-2}^{(2)}\lambda_{n-2}^{(3)} + 2\frac{\beta_n^{(2)}}{\beta_{n-2}^{(2)}}\rho_{1+n} \left\{ \beta_{n-2}^{(1)} \right. \right. \\ & + 2(n-3)\beta_{n-2}^{(2)}\lambda_n^{(3)}\rho_n\rho_{2+n}\eta_{-1(n-2)}\Lambda_{(n-2)n} + (1 - \Lambda_n) \\ & \times \rho_{2+n} \left[-2(n-2)\lambda_{n-2}^{(3)}(4 - 5n + n^2 + \rho_n)\eta_{-1(n-2)} \right. \\ & + 2(n-3) \left(\lambda_{n-2}^{(2)} + \eta_{-1(n-2)} \left[2(n-1)\lambda_{n-2}^{(4)} - \rho_n \right. \right. \\ & \times \left. \left. (2\lambda_{(n-2)}^{(1)} + K_n^{(3)}\Lambda_{(n-2)n}) \right] \right) - \frac{2}{3}\lambda_{n-2}^{(3)}\rho_{n-2}K_{2(n-2)n} \left. \right\} \\ & - \frac{4}{3}(n-3)\lambda_{n-2}^{(5)}\alpha_{2(n-2)n} \Big), \\ \varepsilon_{n-2} \equiv & \frac{2\beta_{n+2}^{(2)}}{\beta_n^{(2)}\lambda_n^{(3)}} \left(\alpha_{n+2}^{(2)}\lambda_{n+2}^{(3)} - 2\frac{\beta_n^{(2)}}{\beta_{n+2}^{(2)}}\rho_{1+n} \left\{ \beta_{n+2}^{(1)} \right. \right. \\ & + 2(n+1)\beta_{n+2}^{(2)}\lambda_n^{(3)}\rho_{n+2}\rho_{4+n}\eta_{1(n+2)}\Lambda_{(n+2)n} \\ & + (1 - \Lambda_n)\rho_{2+n} \left[2\lambda_{n+2}^{(3)} \left[n(2+n)^2 + (3+n)\rho_{4+n} \right] \eta_{1(2+n)} \right. \\ & + 2(n+1) \left(\lambda_{n+2}^{(2)} + \eta_{1(n+2)} \left[2(n+2)\lambda_{n+2}^{(4)} - \rho_{n+4} \right. \right. \\ & \times \left. \left. (2\lambda_{n+2}^{(1)} + K_n^{(3)}\Lambda_{(n+2)n}) \right] \right) - \frac{2}{3}\lambda_{n+2}^{(3)}\rho_{n+2}K_{2(n+2)n} \left. \right\} \\ & - \frac{4}{3}(n+1)\lambda_{n+2}^{(5)}\alpha_{2(n+2)n} \Big). \end{aligned}$$

Выражения для $\tau_n^{(0)}$, $\tau_n^{(2)}$, $\gamma_{n\pm 2}$, $\tau_{n\pm 2}$ совпадают с соответствующими коэффициентами модельной задачи из Приложения С.

Работа выполнена при поддержке грантов Рособрнауки № РНП 2.1.1/3776 и РФФИ № 09-01-00084.

Список литературы

- [1] Белоножко Д.Ф., Григорьев А.И. // ЖТФ. 2007. Т. 77. Вып. 8. С. 19–28.
- [2] Ширяева С.О. // ЖТФ. 2008. Т. 78. Вып. 12. С. 12–20.
- [3] Григорьев А.И., Пожарницкий Д.М., Ширяева С.О. // ЖТФ. 2009. Т. 79. Вып. 5. С. 8–17.
- [4] Григорьев А.И., Пожарницкий Д.М., Ширяева С.О. // Изв. РАН. МЖГ. 2009. № 5. С. 15–26.
- [5] Жаров А.Н., Ширяева С.О., Жарова И.Г. // ЖТФ. 2008. Т. 78. Вып. 5. С. 54–63.
- [6] Ширяева С.О., Григорьев А.И., Паранин А.Р. // ЖТФ. Т. 80. Вып. 10. С. 30–36.
- [7] Ширяева С.О., Григорьев А.И., Паранин А.Р. // ЖТФ. 2011. Т. 81. Вып. 2. С. 31–41.
- [8] Cheng K.J. // Phys. Lett. 1985. Vol. A112. N 11. P. 392–396.
- [9] Inculet I.I., Floryan J.M., Haywood R.J. // IEEE Trans. Ind. Appl. 1992. Vol. IA-28. N 5. P. 12032–1209.
- [10] Ширяева С.О. // ЖТФ. 2006. Т. 76. Вып. 3. С. 93–95.

- [11] *Snerwood J.D.* // J. Fluid Mech. 1988. Vol. 188. P. 133–146.
- [12] *Hill R.J.A., Eaves L.* // Phys. Rev. Lett. 2008. Vol. 101. N 23. P. 234 501-4.
- [13] *Ширяева С.О.* // ЖТФ. 2006. Т. 76. Вып. 6. С. 44–54.
- [14] *Ширяева С.О.* // ЖТФ. 2009. Т. 79. Вып. 6. С. 33–42.
- [15] *O'Konski C.T., Thacher H.C.* // J. Phys. Chem. 1953. Vol. 57. N 9. P. 955–958.
- [16] *Григорьев А.И., Ширяева С.О.* // Изв. РАН. МЖГ. 1994. № 3. С. 3–22.
- [17] *Григорьев А.И.* // ЖТФ. 1985. Т. 55. Вып. 7. С. 1272–1278.
- [18] *Ширяева С.О.* // ЖТФ. 1998. Т. 68. Вып. 4. С. 20–27.
- [19] *Паранин А.Р., Григорьев А.И.* // Электронный журнал „Исследовано в России“. 2009. Т. 114. С. 1500–1509. <http://zhurnal.ape.relarn.ru/articles/2009.114.pdf>
- [20] *Паранин А.Р., Григорьев А.И.* // Электронный журнал „Исследовано в России“. 2009. Т. 119. С. 1545–1554. <http://zhurnal.ape.relarn.ru/articles/2009/119.pdf>
- [21] *Ширяева С.О., Григорьев А.И.* // Скаляризация векторных краевых задач гидродинамики. Ярославль: Изд-во ЯрГУ. 2010. 180 с.
- [22] *Справочник по специальным функциям* / Под ред. М. Абрамовиц, И. Стиган. М.: Наука, 1979. 832 с.
- [23] *Бэтчелор Дж.К.* Введение в динамику жидкости. М., Ижевск: Изд-во НИЦ, РХД, 2004. 768 с.